

Analogový přeladitelný filtr se zesilovači OTA

Klára Pacalová

19. května 2019

Klíčová slova: *transkonduktance, OTA, OTA-C, analogový filtr, pásmová propust, dolní propust*

1 Motivace

Cílem práce je navrhnout zapojení analogového filtru typu pásmová propust 4. řádu s OTA. Hlavním nástrojem je Maple s knihovnou Syntfil, obvodová simulace je poté realizována v prostředí Multisim.

2 Analogové filtry

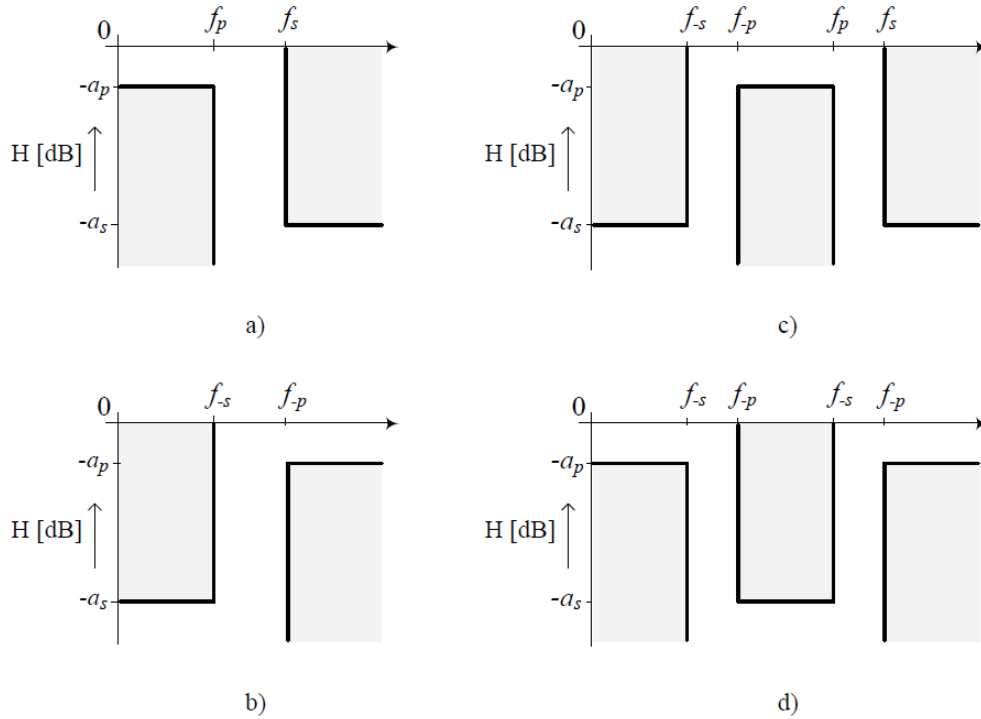
Filtry jsou určeny k potlačení nebo zvýraznění určité části kmitočtového spektra signálu. Jsou to obvody s kmitočtově závislou přenosovou funkcí (pro napěťový přenos $H_s(j\omega) = \frac{U_{out}(j\omega)}{U_{in}(j\omega)}$). Základní rozdělení je na dolní propust (*low-pass* - LP), horní propust (*high-pass* - HP), pásmovou propust (*band-pass* - BP) a pásmovou zádrž (*band-stop* - BS).

Dolní propust nepropouští na výstup vstupní signál nad frekvencí f_s , signál v propustném pásmu zůstává beze změny nebo zesílený. Základní pasivní dvojbranné zapojení je ke vstupu sériově zapojený rezistor a k této větvi paralelně kapacitor. Tento RC člen se zvyšující se frekvencí snižuje svou vstupní impedanci. Přenosová funkce má nulu v nekonečnu a pól v levé polorovině s-roviny. Ideální integrátor má pól v nule.

Horní propust nepropouští signály o nízkých frekvencích. Nejjednodušší zapojení je RC člen, kdy kapacitor je zapojen sériově se zdrojem a k této větvi paralelně rezistor. Pro toto zapojení reaktance kapacitoru se zvyšující se frekvencí klesá. Přenosová funkce ideálního derivátoru má pól v nekonečnu a nulu v nule. Horní propust má nulu v nule a pól v levé polorovině s-roviny.

Pásmová propust propouští pásmo určené dvěma kmitočty. Pasivní pásmové propusti nedosahují účinnosti větší než 1. Jsou složeny z integračního článku (RC - dolní propust) a derivačního článku (CR - horní propust).

Pásmová zádrž nepropouští kmitočty pásma definovaného dvěma kmitočty. Pasivní zapojení je složeno ze dvou rezistorů a kapacitorů. Má vždy ztrátový přenos.



Obrázek 1: Toleranční schéma pro a) dolní propust (LP), b) horní propust (HP), c) pásmovou propust (BP) a d) pásmovou zadrž (BS)[1]

Filtry se používají k redukci nežádoucích frekvencí např. pro efektivní reprodukci zvuku reproduktory, k redukci okolního rušení např. vysílače blokují harmonické frekvence, které interferují, jako filtry v obvodech rekonstrukce signálů u D/A převodníků, nebo jako anti-aliasing filtry např. předvzorkování u A/D převodníků).

Obecná přenosová funkce filtru typu dolní propust je

$$H(j\omega) = \frac{H_0}{\prod_{i=1}^{\frac{n}{2}} (1 + a_i s + b_i s^2)}, \quad (1)$$

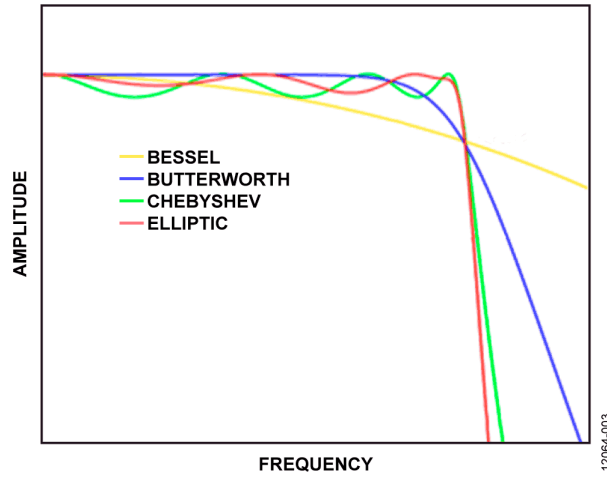
kde n je řád filtru.

Obecná přenosová funkce filtru typu horní propust je

$$H(j\omega) = \frac{H_\infty}{\prod_{i=1}^{\frac{n}{2}} (1 + \frac{a_i}{s} + \frac{b_i}{s^2})}, \quad (2)$$

kde n je řád filtru.

Podle rozložení nul a pólů jmenovatele rozlišujeme různé aproximace. Koefficienty filtru a_i, b_i určují zesílení v propustném pásmu. Činitel jakosti je definován jako $Q = \frac{\sqrt{b_i}}{a_i}$. Čím větší Q je obdrženo, tím spíš bude filtr nestabilní.



Obrázek 2: Typy aproximací (LP)[2]

2.1 Butterworthova aproximace

Butterworthova má maximálně plochou amplitudovou charakteristiku v propustném pásmu. Frekvenční charakteristika má sklon daný počtem pólů a pro její posouzení je užíváno skupinové zpoždění (derivace fáze podle frekvence). Pro Butterworthovu aproximaci je skupinové zpoždění nezměněné v propustném pásmu. Přechodová charakteristika má mírný překmit, zvyšující se s řádem filtru. Zesílení $G(\omega)$ je kmitočtově závislé a odpovídá absolutní hodnotě přenosové funkce $H(j\omega)$.

$$G(\omega) = |H(j\omega)| = \frac{1}{\sqrt{1 + \epsilon^2 \frac{\omega}{\omega_c}^{2n}}}, \quad (3)$$

kde ϵ je poměrné zvlnění kmitočtové charakteristiky v propustném pásmu (*faktor zvlnění*), n je řád filtru a ω_c mezní frekvence. Mezní frekvence je definována jako frekvence, která nastává při útlumu -3 dB. Pro $\omega_c = 1$ je faktor zvlnění $\epsilon = 1$.

2.2 Čebyševova aproximace

Čebyševova aproximace má strmější pokles, což vede k užití nižšího řádu filtru. Zato má ale zvlněnou frekvenční charakteristiku v propustném pásmu.

2.2.1 Typ I

Vyjádření modulové charakteristiky pro tuto aproximaci je dáno jako

$$G(\omega) = |H(j\omega)| = \frac{1}{\sqrt{1 + \epsilon^2 T_n^2 \frac{\omega}{\omega_c}^{2n}}}, \quad (4)$$

kde T_n je Čebyševův polynom, ϵ je poměrné zvlnění, n je řád filtru a ω_c mezní frekvence. Čebyševův polynom je definován vztahem $2\omega^2 - 1$ pro $n = 2$. Obecně jsou to kořeny Chebyshevových diferenciálních rovnic

$$(1 - x^2)y'' - xy' + n^2y = 0 \quad (5)$$

$$(1 - x^2)y'' - 3xy' + n(n+2)y = 0. \quad (6)$$

2.2.2 Typ II

Typ II je nazýván také jako inverzní Čebyševova aproximace. V praxi není příliš používán, jelikož nemá tak rychlý pokles jako typ I a k jeho realizaci je třeba více prvků. Nemá zvlnění v propustném pásmu, zato v zádržném ano. Zesílení je definováno jako

$$G(\omega, \omega_c) = \frac{1}{\sqrt{1 + \frac{1}{\epsilon^2 T_n^2 \frac{\omega_c}{\omega}^{2n}}}}, \quad (7)$$

kde T_n je Čebyševův polynom, ϵ je poměrné zvlnění, n je řád filtru a ω_c mezní frekvence.

2.3 Besselova aproximace

Besselova aproximace se používá v telekomunikační technice v případech, kdy je požadováno zachování tvaru signálu. Amplitudová charakteristika v nepropustném pásmu je velmi plochá. Koefficienty polynomu jsou zvoleny tak, aby fázová charakteristika v pásmu okolo kritické frekvence byla maximálně lineární. Nevýhodou je poměrně malá strmost modulové charakteristiky. Ta je pro Besselovu aproximaci je dána vztahem

$$G(\omega) = |H(j\omega)| = \frac{\Theta_n(0)}{\Theta_n(\frac{j\omega}{\omega_c})}, \quad (8)$$

kde Θ_n je Besselův polynom a ω_c mezní frekvence. Besselův polynom je definován součtem řady (Grosswald 1978, Berg 2000)

$$\Theta_n(x) = x^n y_n\left(\frac{1}{x}\right) = \sum_{k=0}^n \frac{(n+k)!}{(n-k)!k!} \frac{x^{n-k}}{2^k}. \quad (9)$$

Pro filtr druhého řádu platí

$$G(\omega) = |H(j\omega)| = \frac{3}{\sqrt{\omega^4 + 3\omega^2 + 9}}. \quad (10)$$

2.4 Cauerova (eliptická) aproximace

Cauerova aproximace (eliptická) má nejstrmější pokles, při jejím užití jsou voleny nižší řády filtru. Pokud se zvlnění v zádržném pásmu blíží nule, filtr se stává Čebyševovým (výše zmíněný - typ I). Opačně je tomu v propustném pásmu - přiblížením k nule se filtr stává inverzním Čebyševovým (typ II). Pokud se obě hodnoty zvlnění blíží k nule, filtr se stává Butterworthovým. Kmitočtová charakteristika je dána vztahem

$$G(\omega) = |H(j\omega)| = \frac{1}{\sqrt{1 + \epsilon^2 R_n^2(\zeta, \frac{\omega}{\omega_c})}}, \quad (11)$$

kde ϵ je faktor zvlnění, R_n eliptická racionální funkce n -tého řádu, ζ selektivní faktor a ω_c mezní frekvence. Pokud pro selektivní faktor platí $\zeta \rightarrow \infty$, filtr se stává Čebyševovým (typ I).

3 Transkonduktanční zesilovače (OTA)

V telekomunikacích se používají filtry v rozsahu kmitočtů desítek až stovek megahertz, v bezdrátové komunikaci až v řádu gigahertz. Běžné RC filtry by neměly být užívány ve frekvenčním rozsahu nad 5-10% ω_c - tedy v tomto rozsahu používaném v telekomunikačních technologiích nemají předvídatelné průběhy. Krom toho ve spínacích CMOS, kde rezistory běžně nejsou dostupné, jsou potřeba zesilovače s velkou šířkou pásma a zároveň vysokým zesílením. Dodržení těchto požadavků je náročné a drahé. Dalším extrémem pro analogové integrované filtry jsou telefonní linky, kde jsou kmitočtové rozsahy sice nízké, ale je požadována nízká cena a vysoká přesnost.

Pro nízké frekvence se ke splnění těchto požadavků používají obvody se spínanými kapacitami (SC). Přepínaný kapacitor se chová jako rezistor, tudíž časová konstanta RC je definována poměrem kapacitorů a hodinovou (CLK) frekvencí, se kterou jsou přepínány. Pro vysokofrekvenční aplikace (až v řádu gigahertz) se používají MOSFET-C filtry.

Další z možných prvků, které jsou dostupné jak pro nízkofrekvenční aplikace, tak pro kmitočtový rozsah stovek megahertz, jsou transkonduktanční zesilovače.

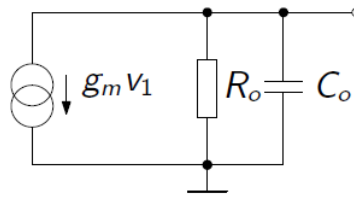
Transkonduktanční zesilovače (označují se též jako OTA (*Operational Transconductance Amplifiers*)) jsou napětím řízené zesilovače s proudovým výstupem - zdroje proudu

$$i_{out} = g_m(u_+ - u_-), \quad (12)$$

kde u_+ a u_- jsou napětí invertujícího a neinvertujícího vstupu. Transkonduktance je řízena externím proudem I_{ABC} (*Bias Current*). Ideální OTA má kmitočtově nezávislou transkonduktanci g_m (na rozdíl od reálného, který je kmitočtově závislý).



Obrázek 3: OTA - schematické značky [3]



Obrázek 4: Linearizovaný model reálného OTA [4]

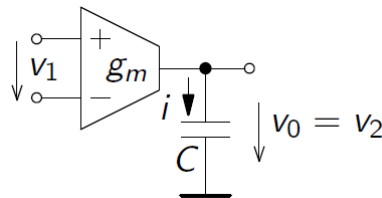
Připojením zátěže R_z na výstup bylo získáno napětí naprázdno

$$u_{out} = R_z g_m (u_+ - u_-) = G_0 (u_+ - u_-), \quad (13)$$

kde G_0 je zesílení. Ze vztahu (2) plyne, že zesílení je konečné a mezi vstupy je nenulové napětí. Připojením kondenzátoru jako zátěže byl získán bezztrátový integrátor s přenosem

$$H(s) = \frac{v_2}{v_1} = \frac{g_m}{sC} \quad (14)$$

$$v_0(t) = \frac{1}{C} \int i(t) dt = \frac{1}{C} \int g_m v_1(t) dt. \quad (15)$$

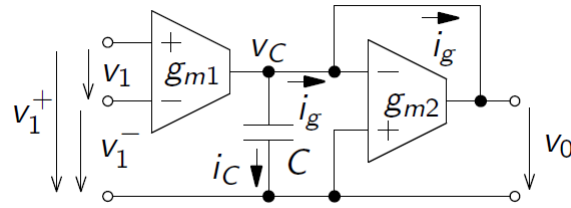


Obrázek 5: OTA-C [4]

Toto zapojení integrátoru s uzemněným kondenzátorem se označuje jako OTA-C.

Ztrátový integrátor lze vytvořit sériovým zapojením dalšího OTA jako odporu se zápornou zpětnou vazbou. Rozdíl mezi ideálním a ztrátovým integrátorem lze pozorovat i v modulové charakteristice - pro ztrátový je konstantní a pak teprve lineárně klesá se sklonem -20 dB/dek.

$$v_0(t) = \frac{g_{m1}}{sC + g_{m2}} (v_1^+ - v_1^-) \quad (16)$$



Obrázek 6: Ztrátový OTA-C [4]

4 Integrované obvody s OTA

Integrované obvody se vyrábí buď s jedním nebo dvěma zesilovači v pouzdře. Varianty s jedním operačním zesilovačem jsou např. OPA615, OPA860 a novější OPA861. Všechny součástky s jedním OZ mají velkou šířku pásma (v řádech stovek MHz), cenově vychází na 75-280 Kč. Integrované obvody s dvěma OZ v pouzdře mají užší šířku pásma (2 MHz), menší rychlost přeběhu ($50 \text{ V}/\mu\text{s}$), mnohem menší výstupní proud ($650 \mu\text{A}$) i offset vstupního napětí a operují při cca 4x nižších proudech. Cenové rozpětí je 25-65 Kč.

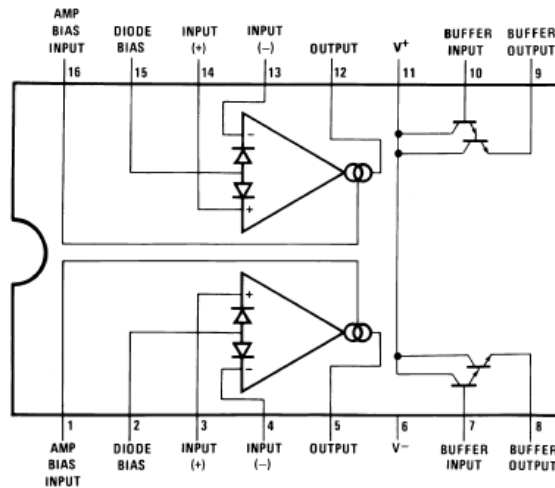
	GBP - Gain Bandwidth Product	SR - Slew Rate	Output Current per Channel	I_b - Input Bias Current	V_{os} - Input Offset Voltage	Operating Supply Current	Forward Transconductance Min	Supply Voltage
OPA615	710 MHz	$2.5 \text{ kV}/\mu\text{s}$	5 mA	$3 \mu\text{A}$	40 mV	13 mA	65 mA/V	8-12.4 V
OPA860	470 MHz	$3.5 \text{ kV}/\mu\text{s}$	15 mA	$5 \mu\text{A}$	12 mV	11.2 mA	80 mA/V	5-13 V
OPA861	400 MHz	$900 \text{ V}/\mu\text{s}$	15 mA	$1 \mu\text{A}$	12 mV	5.4 mA	65 mA/V	4-12.6 V

Tabulka 1: orovnání integrovaných obvodů s jedním OTA [5]

	GBP - Gain Bandwidth Product	SR - Slew Rate	Output Current per Channel	I_b - Input Bias Current	V_{os} - Input Offset Voltage	Operating Supply Current	Forward Transconductance - Min	Supply Voltage
LM13700	2 MHz	$50 \text{ V}/\mu\text{s}$	$650 \mu\text{A}$	$5 \mu\text{A}$	4 mV	1.3 mA	$6700 \mu\text{S}$	10-36 V
NE5517	2 MHz	$50 \text{ V}/\mu\text{s}$	$650 \mu\text{A}$	$5 \mu\text{A}$	5 mV	2.6 mA	$5400 \mu\text{S}$	4-44 V
AU5517	2 MHz	$50 \text{ V}/\mu\text{s}$	$650 \mu\text{A}$	$5 \mu\text{A}$	5 mV	2.6 mA	$5400 \mu\text{S}$	4-44 V
NJM13600	2 MHz	$50 \text{ V}/\mu\text{s}$	$650 \mu\text{A}$	$5 \mu\text{A}$	5 mV	2.6 mA	$6700 \mu\text{S}$	36 V
NJM13700	2 MHz	$50 \text{ V}/\mu\text{s}$	$650 \mu\text{A}$	$5 \mu\text{A}$	4 mV	2.6 mA	$6700 \mu\text{S}$	36 V

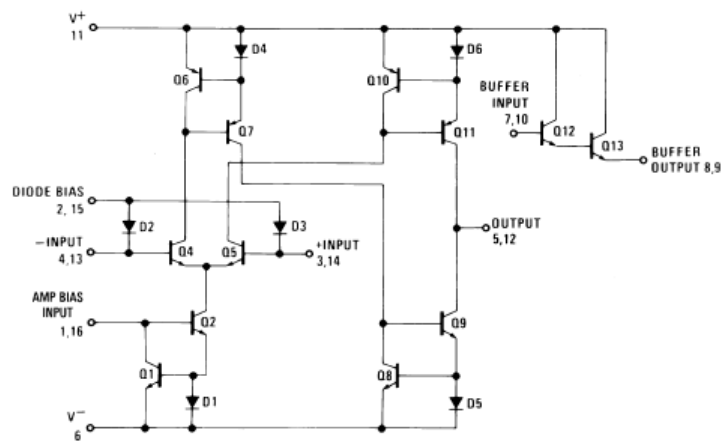
Tabulka 2: Porovnání integrovaných obvodů se dvěma OTA [5]

Pro realizaci přeladitelného filtru byl zvolen LM13700 s dvěma OZ.



Obrázek 7: Konfigurace pinů na LM13700M [6]

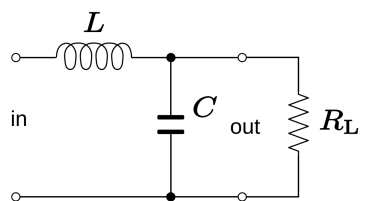
Vnitřní zapojení LM13700 na obrázku 8 obsahuje symetrický rozdílový stupeň (tranzistory Q4, Q5), který je napájen řízeným zdrojem proudu s tranzistorem Q2. Dvojice diod a tranzistorů tvoří proudová zrcadla (*Current Mirror*) - referenční proud tekoucí v jedné větvi obvodu se "zrcadlí" v jeho druhé větvi. Principiálně jsou to zdroje proudu řízené proudem.



Obrázek 8: Vnitřní chéma OTA [6]

5 Odvození DP 2. řádu

Náhradní obvod, ze kterého bude spočítána přenosová funkce pro přenos filtru druhého řádu, popisuje obrázek 9.



Obrázek 9: Dolní propust 2. řádu [7]

Přenos obvodu byl vyjádřen jako

$$H(s) = \frac{U_{out}}{U_{in}} = \frac{Z_2}{Z_1}, \quad (17)$$

kde $Z_1 = sL$ a $Z_2 = \frac{R}{R + \frac{1}{sC}}$. Tedy

$$H(s) = \frac{\frac{\frac{R}{sC}}{R + \frac{1}{sC}}}{sL + \frac{\frac{R}{sC}}{R + \frac{1}{sC}}}. \quad (18)$$

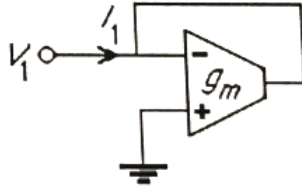
Elementárními algebraickými úpravami a následným vynásobením členem $\frac{1}{LRC}$ byl získán výsledný přenos.

$$H(s) = \frac{R}{s^2 LRC + sL + R} = \frac{\frac{1}{LC}}{s^2 + \frac{s}{RC} + \frac{1}{LC}}. \quad (19)$$

Pro ideální OTA zesilovač (vstupní i výstupní impedance nulové) je možno odpor nahradit obvodem s uzemněným neinvertujícím vstupem a zpětnou vazbou z invertujícího vstupu na výstup a to hodnotou

$$R_{in} = \frac{1}{g_{m1}}, \quad (20)$$

kde g_{m1} označuje transkonduktanci zesilovače. Prohození invertujícího a neinvertujícího vstupu vede na opačnou polaritu.



Obrázek 10: Obvod pro simulaci uzemněného rezistoru [8]

Pro nahrazení indukčnosti o impedanci $Z_L = \frac{1}{sC}$ lze použít obvod s třemi OTA. Uzemněny jsou invertující vstup prvního OTA a neinvertující druhého. Použita je zpětná vazba z výstupu na neinvertující vstup prvního OTA. Propojení výstupu prvního OTA na invertující vstup druhého OTA je realizováno přes uzemněný kapacitor. Vyjádřením napětí a proudů v obvodu bylo získáno napětí na kapacitoru a vstupní proud

$$V_C = \frac{g_{m1}}{sC} V_1 \quad (21)$$

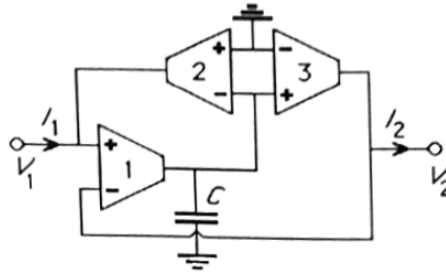
$$I_1 = g_{m2} V_C = \frac{g_{m1} g_{m2}}{sC} V_1. \quad (22)$$

Výsledná indukčnost - impedance vstupu byla vyjádřena vztahem (11).

$$Z_{in}(s) = \frac{V_1}{I_1} = s \frac{C}{g_{m1} g_{m2}} \quad (23)$$

Byl obdržen induktor o hodnotě

$$L = \frac{C}{g_{m1} g_{m2}}. \quad (24)$$



Obrázek 11: Obvod pro simulaci indukčnosti [8]

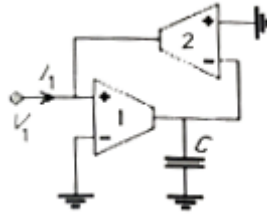
Pro uzemněnou indukčnost o impedanci $Z_L = \frac{1}{sC}$ byl použit obvod na obrázku 12. Vyjádřením napětí a proudů v obvodu bylo získáno napětí na kapacitoru a vstupní proud

$$V_C = \frac{g_{m1}}{sC} V_1 \quad (25)$$

$$I_1 = g_{m2} V_C = \frac{g_{m1} g_{m2}}{sC} V_1. \quad (26)$$

Výsledná indukčnost - impedance vstupu byla vyjádřena vztahem (16).

$$Z_{in}(s) = \frac{V_1}{I_1} = s \frac{C}{g_{m1} g_{m2}} \quad (27)$$

Obrázek 12: Obvod pro simulaci uzemněné indukčnosti pro $g_{m1} = g_{m2}$ [8]

Nyní je možno za odpor a indukčnost dosadit do vztahu (8). Byly uvažovány kapacitory o stejné hodnotě C.

$$H(s) = \frac{\frac{1}{C^2}}{\frac{g_{m1} g_{m2}}{s^2} + \frac{s}{C} + \frac{1}{C^2}} = \frac{\frac{g_{m1} g_{m2}}{C^2}}{s^2 + \frac{s g_{m2}}{C} + \frac{g_{m1} g_{m2}}{C^2}} = \frac{g_{m1} g_{m2}}{s^2 C^2 + s g_{m2} C + g_{m1} g_{m2}}. \quad (28)$$

Porovnáním jmenovatele se jmenovatelem přenosu filtru 2. řádu byl obdržěn vztah

$$s^2 + s \frac{\omega_c}{Q} + \omega_c^2 = s^2 C^2 + s g_{m2} C + g_{m1} g_{m2} \quad (29)$$

$$s^2 + s \frac{\omega_c}{Q} + \omega_c^2 = s^2 + \frac{s g_{m2}}{C} + \frac{g_{m1} g_{m2}}{C^2}. \quad (30)$$

Z tohoto vztahu byl vyjádřen mezní kmitočet jako

$$\omega_c^2 = \frac{g_{m1} g_{m2}}{C^2} \quad (31)$$

$$\omega_c = \sqrt{\frac{g_{m1} g_{m2}}{C^2}} \quad (32)$$

a činitel jakosti dosazením za ω_c

$$Q = \frac{\omega_c}{\frac{g_{m2}}{C}} = \sqrt{\frac{g_{m1}}{g_{m2}}}. \quad (33)$$

Pokud navíc byly uvažovány stejné transkonduktance $g_{m1}, g_{m2} = g_m$, byl obdržen výsledek

$$\omega_c = \sqrt{\frac{g_m^2}{C^2}}, \quad (34)$$

$$Q = \sqrt{1} = 1. \quad (35)$$

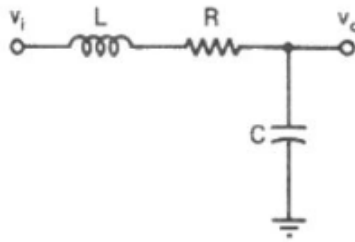
6 Dolní propust 2. řádu

Dolní propust druhého řádu má přenos v nekonečnu nulový $H_\infty = 0$. Přenosová funkce je

$$H(j\omega) = \frac{H_0 \omega_c^2}{(j\omega)^2 + \frac{\omega_c}{Q}(j\omega) + \omega_c^2}. \quad (36)$$

Obvodová simulace byla realizována v programu Multisim. Bylo zvoleno symetrické napájení OZ $V_{DD}, V_{SS} = \pm 15$ V. Regulací vstupního proudu je ovlivňován pracovní bod obvodu (mezí kmitočet). Vstupní externí proud $I_{ABC} = 0.5 \mu\text{A}$ byl zvolen tak, aby byl obdržen mezí kmitočet cca 100 kHz. Externím proudem $I_{ABC} \in < 5 \mu\text{A} ; 500 \mu\text{A} >$ je výrobcem garantováno minimální výstupní napětí $U_{OUT} = \pm 12$ V, standardně $V_{peak1} = 14.2$ V a $V_{peak2} = -14.4$ V. Při výstupním napětí v tomto intervalu je šum vzhledem k signálu zanedbatelný a nezkreslí výsledky simulace.

Obvod je realizován zapojením indukčnosti (Obrázek 11), odporu (Obrázek 10) a uzemněného kapacitoru.



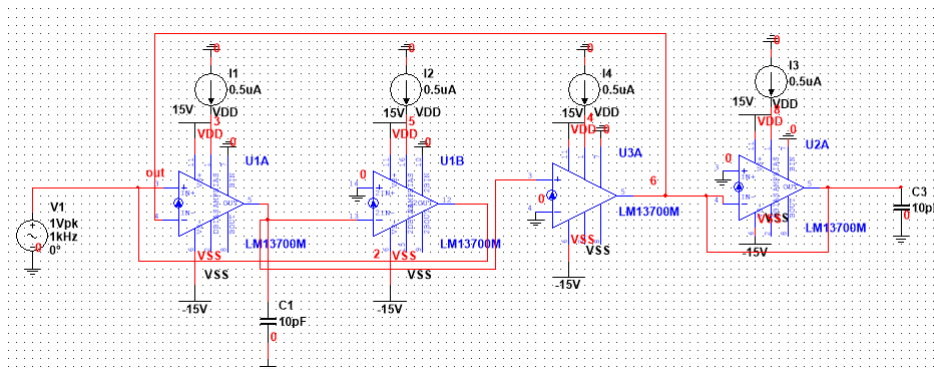
Obrázek 13: Dolní propust [9]

Mezní frekvence a činitel jakosti tohoto obvodu byly spočítány jako

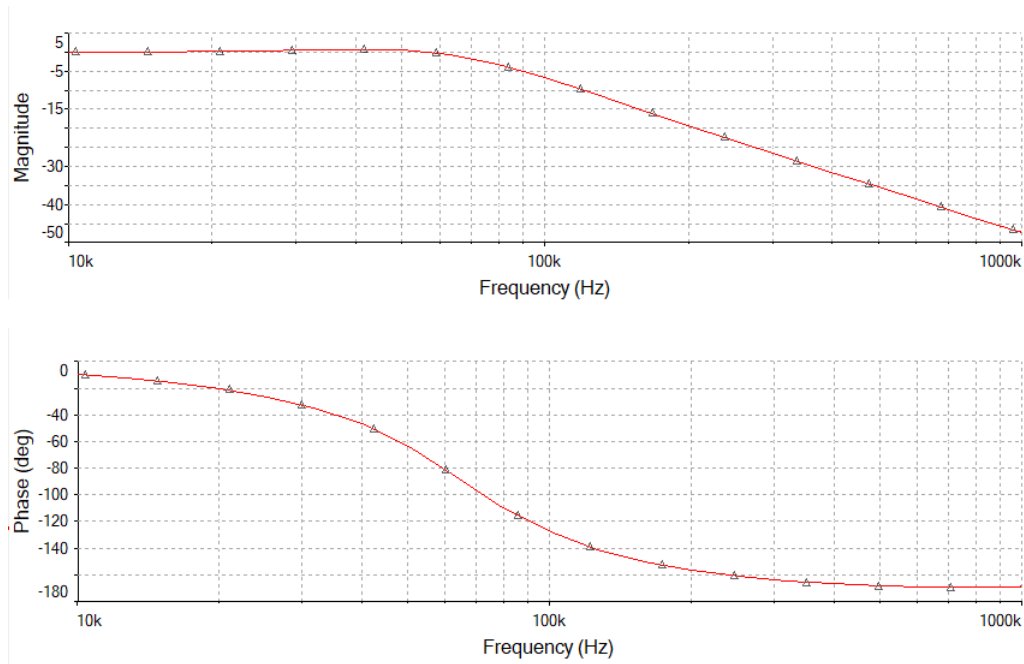
$$\omega_c = \sqrt{\frac{1}{LC}} \quad (37)$$

$$Q = \frac{L\sqrt{\frac{C}{L}}}{RC}. \quad (38)$$

Zapojení obvodu v Multisimu ilustruje Obrázek 15.



Obrázek 14: Schéma zapojení dolní propusti 2. řádu

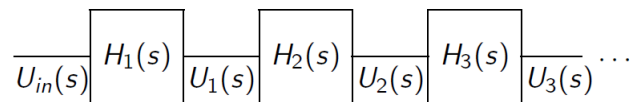


Obrázek 15: Amplitudová a fázová charakteristika dolní propusti 2. řádu

Lze použít i zapojení z kapitoly 4 s uzemněným kapacitorem a odporem, avšak při této realizaci dochází v amplitudové charakteristice k překmitu. Proto bylo zvoleno řešení zmíněné výše.

7 Dolní propust 4. řádu

Kaskádní zapojení je realizováno násobením sériově zapojených bloků.



Obrázek 16: Kaskádní zapojení [4]

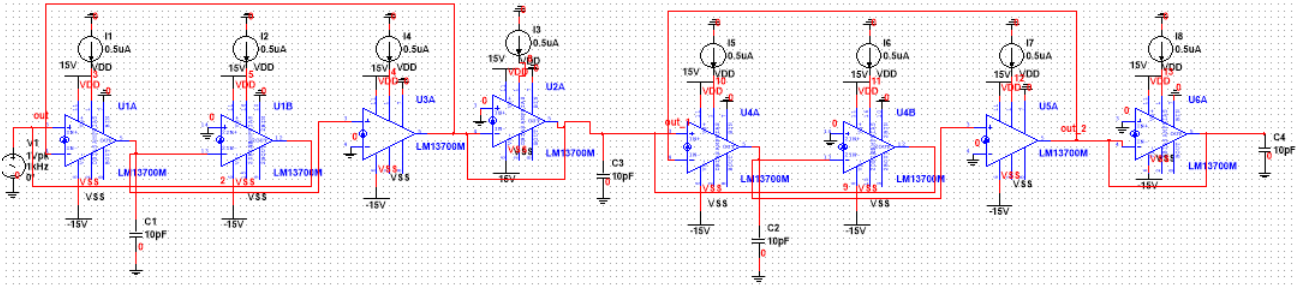
Přenosové funkce jednotlivých bloků se násobí

$$H_k(j\omega) = \frac{U_k(j\omega)}{U_{k-1}(j\omega)}. \quad (39)$$

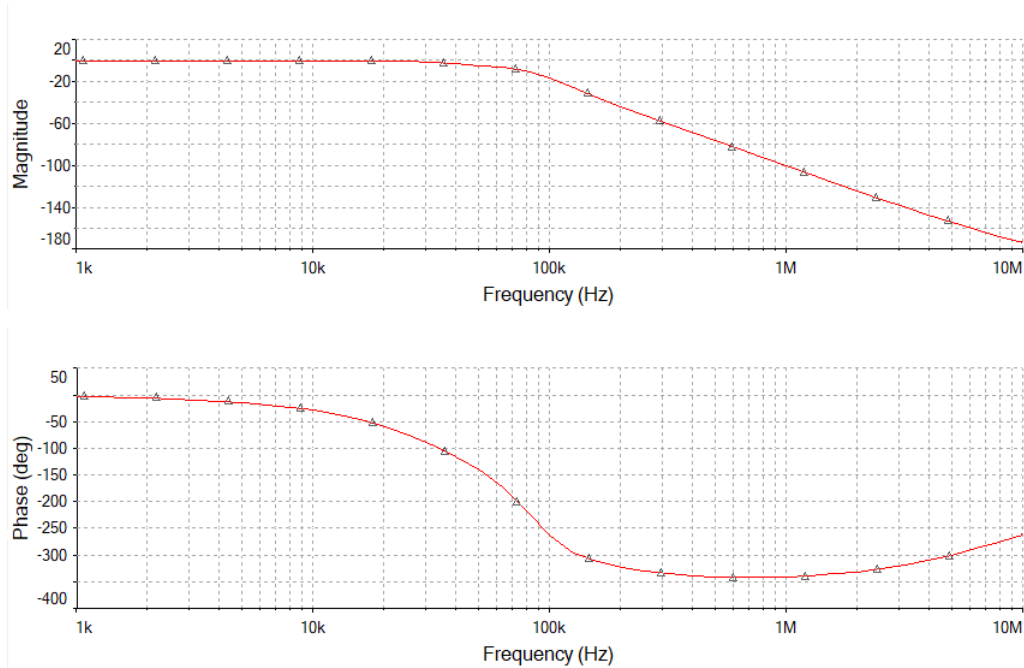
Přenos posledního bloku je dán vztahem

$$H_{1 \rightarrow k}(j\omega) = \frac{U_k(j\omega)}{U_{in}(j\omega)} = \prod_{n=1}^k H_n(j\omega). \quad (40)$$

Kaskádním zapojením dvou dolních propustí ze sekce 5 byl obdržen filtr 4. řádu s poklesem -80 dB/dek.



Obrázek 17: Schéma kaskádního zapojení dolní propusti 4. řádu



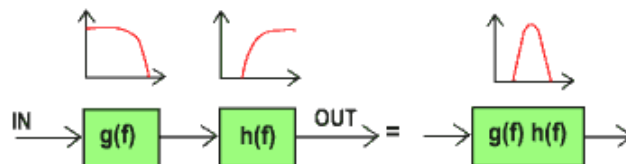
Obrázek 18: Amplitudová a fázová charakteristika kaskádního zapojení dolní propusti 4. řádu

8 Pásmová propust 2. řádu

Horní propust druhého řádu má přenos v nule nulový $H_0 = 0$. Přenosová funkce je

$$H(j\omega) = \frac{H_\infty(j\omega)^2}{(j\omega)^2 + \frac{\omega_c}{Q}(j\omega) + \omega_c^2}. \quad (41)$$

Pásmovou propust lze získat kaskádním zapojením dolní a horní propusti.

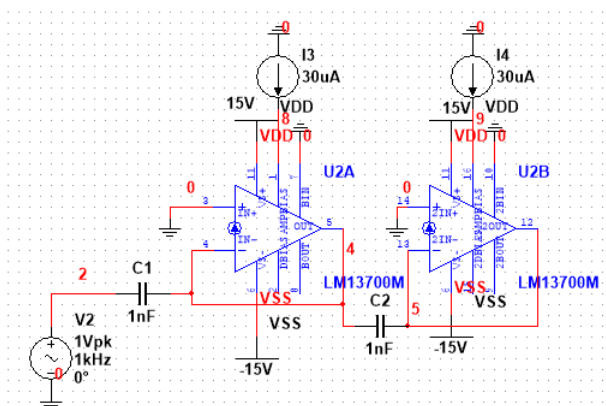


Obrázek 19: Násobení přenosů [10]

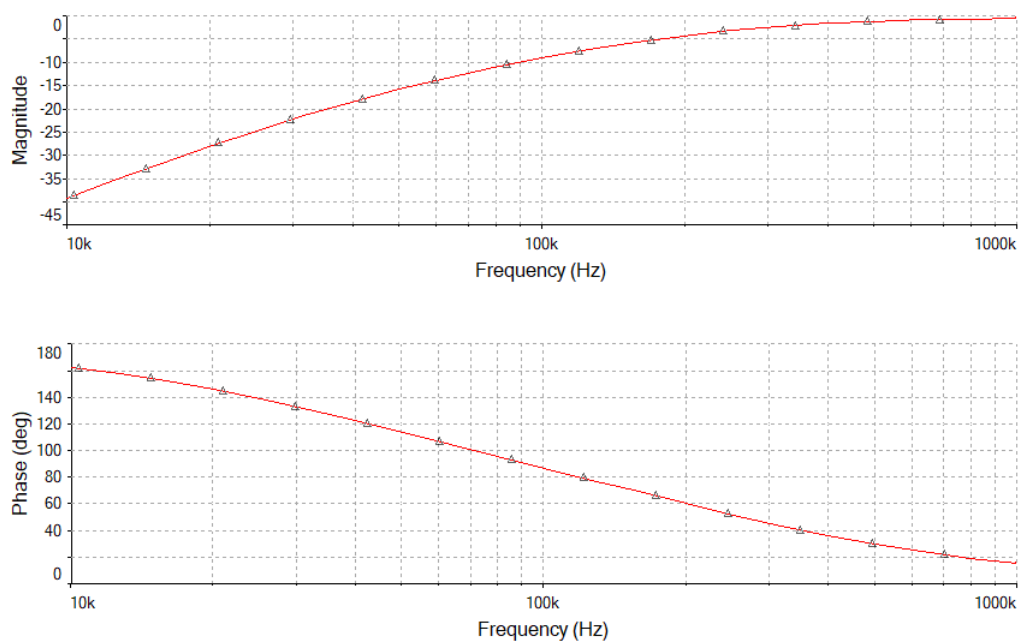
Pásmová propust má přenos v nule i nekonečnu nulový $H_0 = H_\infty = 0$. Přenosová funkce je

$$H(j\omega) = \frac{H_B \frac{\omega_c}{Q}(j\omega)}{(j\omega)^2 + \frac{\omega_c}{Q}(j\omega) + \omega_c^2}. \quad (42)$$

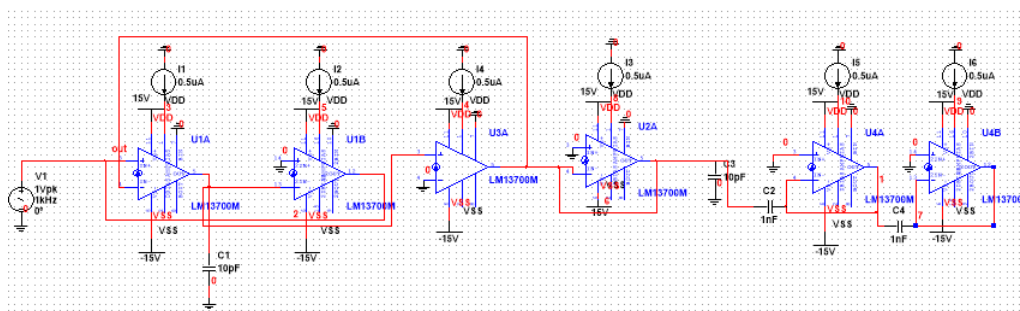
Nejprve byla zapojením dvou RC článků obdržena horní propust. Následně byla sériovým zapojením dolní a horní propusti 2. řádu obdržena pásmová propust 2. řádu.



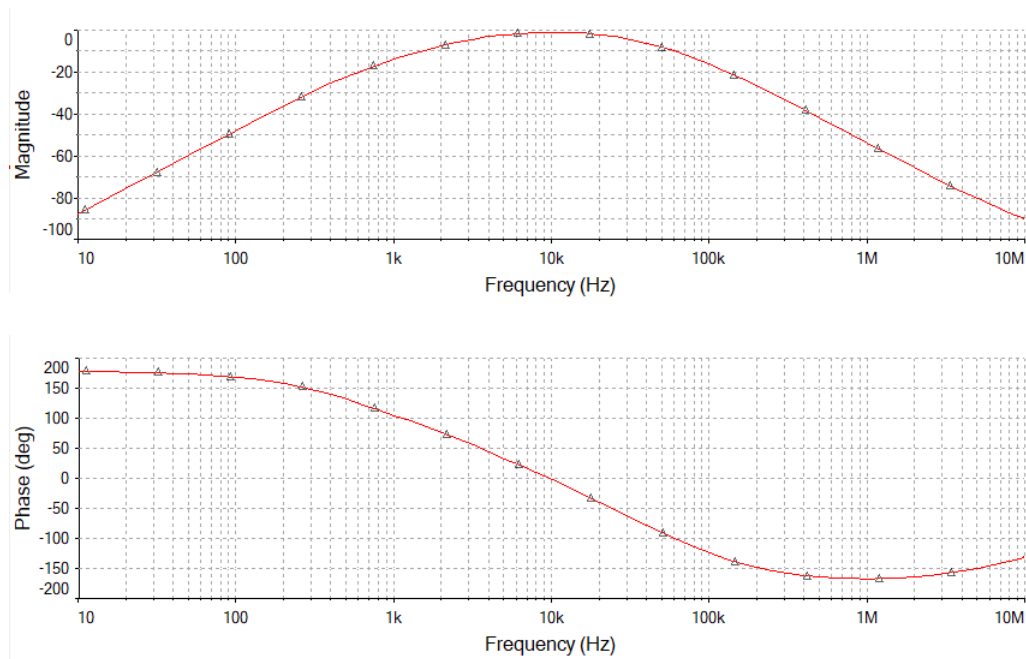
Obrázek 20: Schéma zapojení horní propusti 2. řádu



Obrázek 21: Amplitudová a fázová charakteristika horní propusti 2. řádu

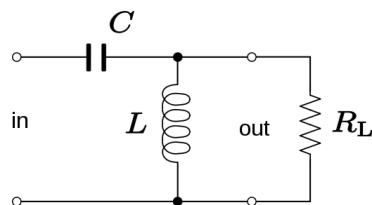


Obrázek 22: Schéma kaskádního zapojení pásmové propusti 2. řádu



Obrázek 23: Amplitudová a fázová charakteristika kaskádního zapojení pásmové propusti 2. řádu

Obvod je realizován zapojením odporu (Obrázek 10), kapacitoru a uzemněné indukčnosti (Obrázek 12).



Obrázek 24: Horní propust [11]

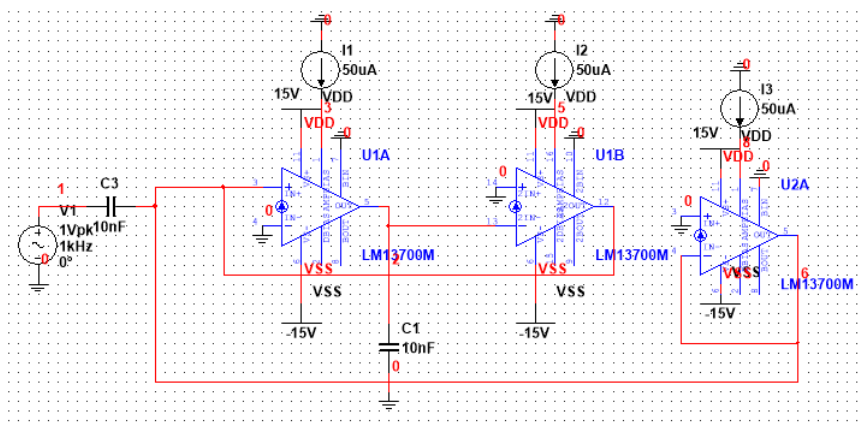
Mezní frekvence a činitel jakosti tohoto obvodu byly spočítány jako

$$\omega_c = \frac{1}{\sqrt{LC}} \quad (43)$$

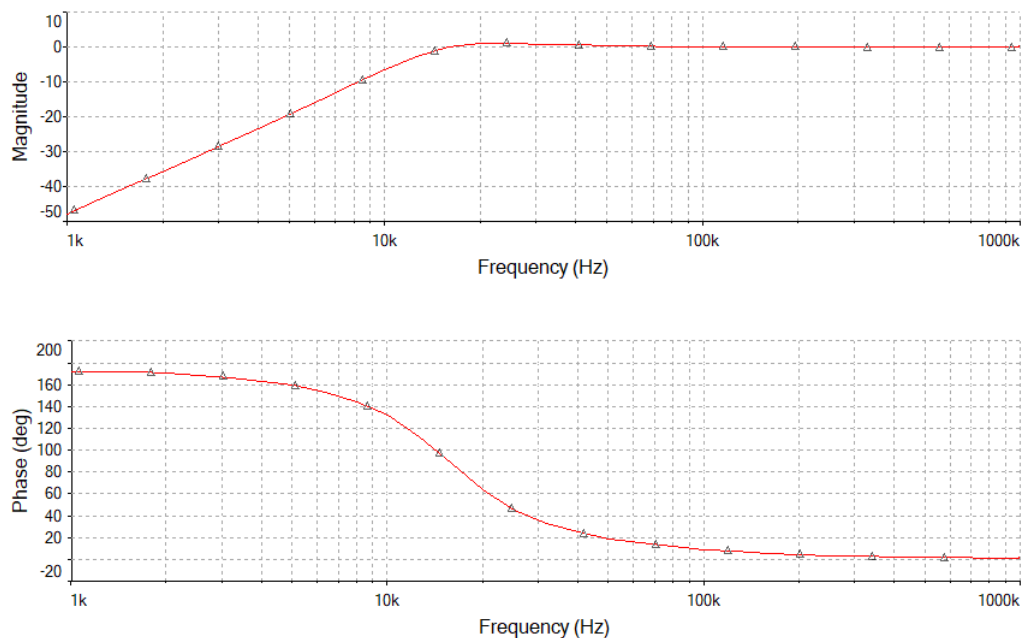
$$Q = \frac{1}{2\zeta}, \quad (44)$$

kde ζ je relativní útlum vyjádřený z přenosové funkce

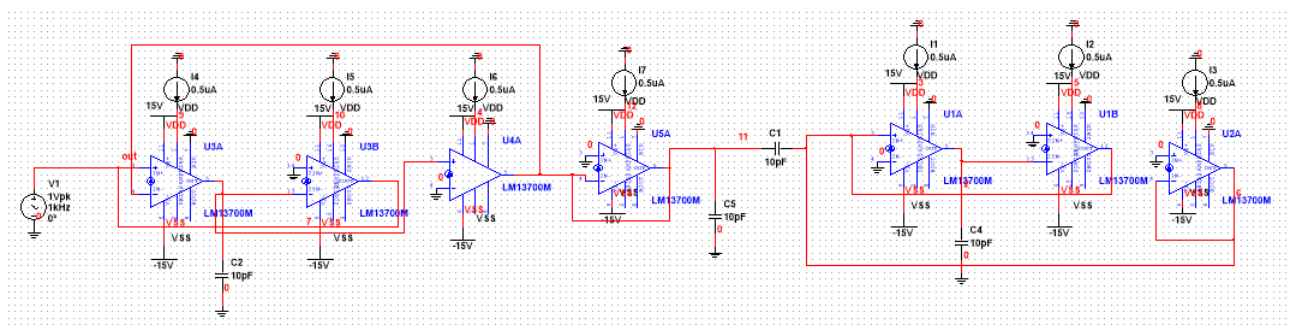
$$H(s) = \frac{s^2}{s^2 + 2\zeta\omega_c s + \omega_c^2}. \quad (45)$$



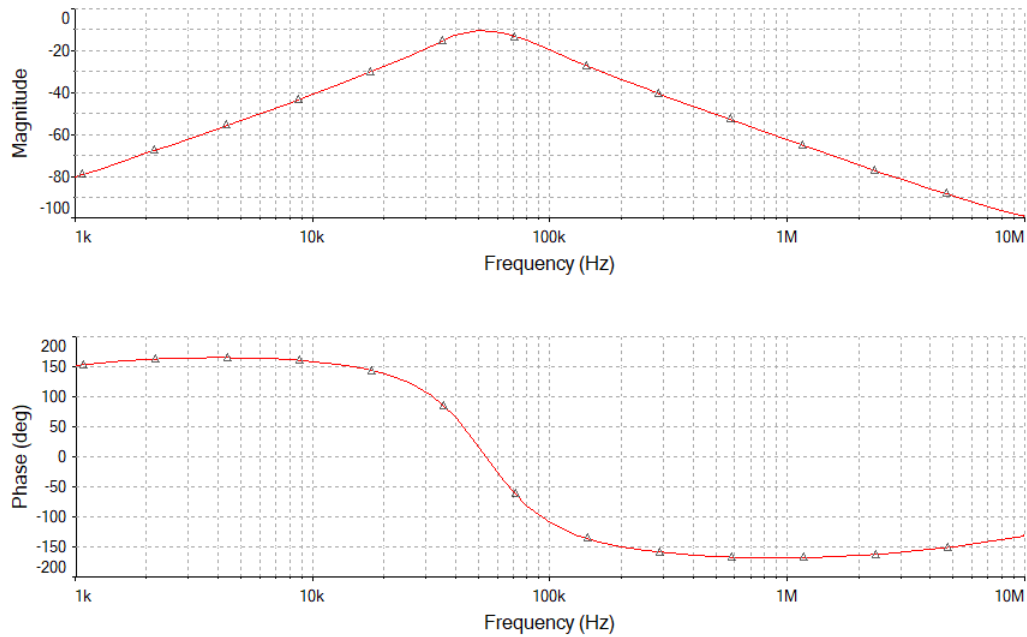
Obrázek 25: Schéma zapojení horní propusti 2. řádu



Obrázek 26: Amplitudová a fázová charakteristika horní propusti 2. řádu



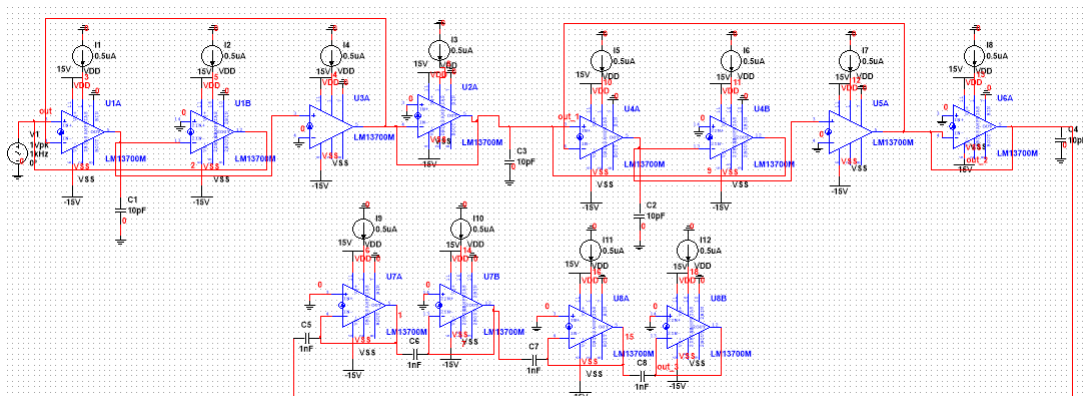
Obrázek 27: Schéma kaskádního zapojení pásmové propusti 2. řádu



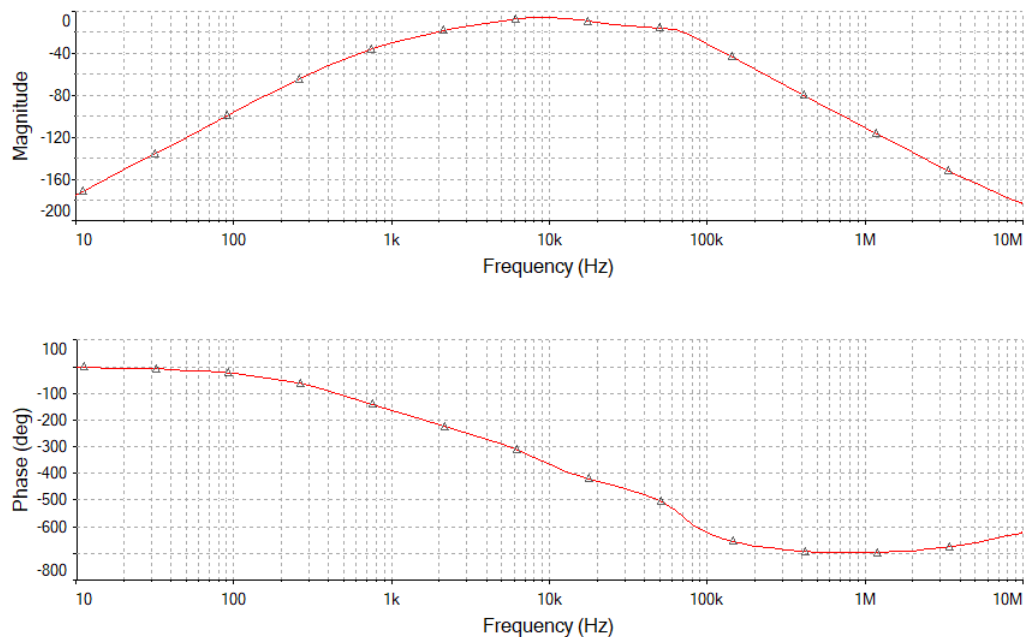
Obrázek 28: Amplitudová a fázová charakteristika kaskádního zapojení pásmové propusti 2. řádu

9 Pásmová propust 4. řádu

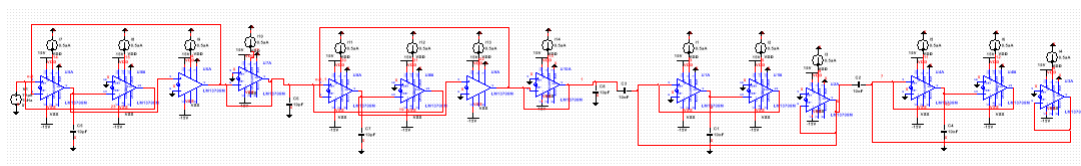
Sériovým zapojením indukčnosti, odporu a uzemněného kapacitoru jako dolní propusti 4. řádu a následným zapojením dvou horních propustí 2. řádu byla obdržena pásmová propust 4. řádu. Byl obdržen filtr 4. řádu s poklesem -80 dB/dek. Průběh v okolí 0 dB není zcela hladký, protože hodnoty prvků v obvodu nebyly zvoleny přesně.



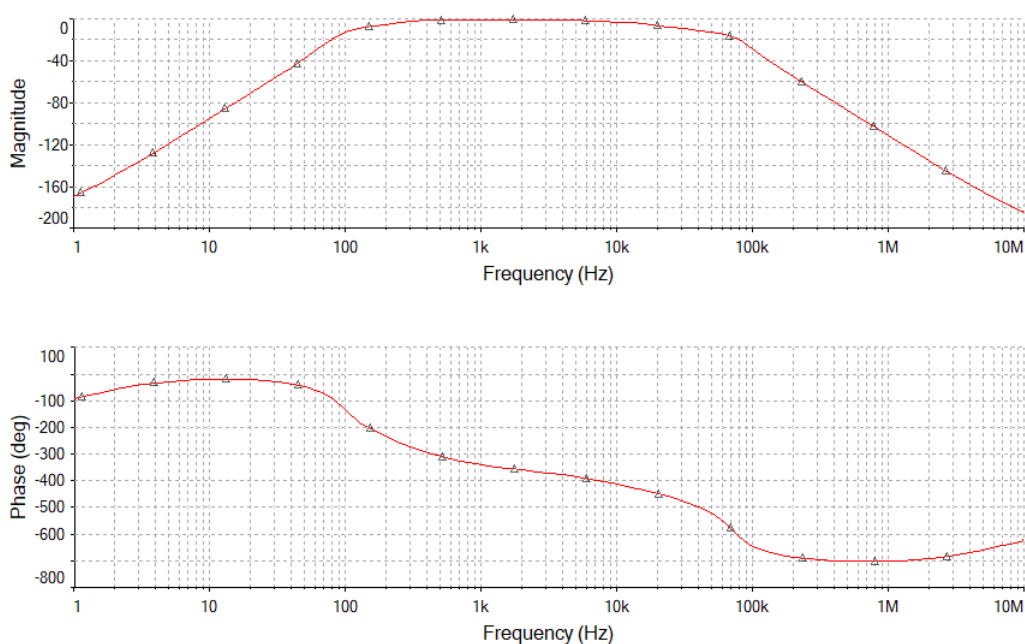
Obrázek 29: Schéma kaskádního zapojení pásmové propusti 4. řádu



Obrázek 30: Amplitudová a fázová charakteristika kaskádního zapojení pásmové propusti 4. řádu

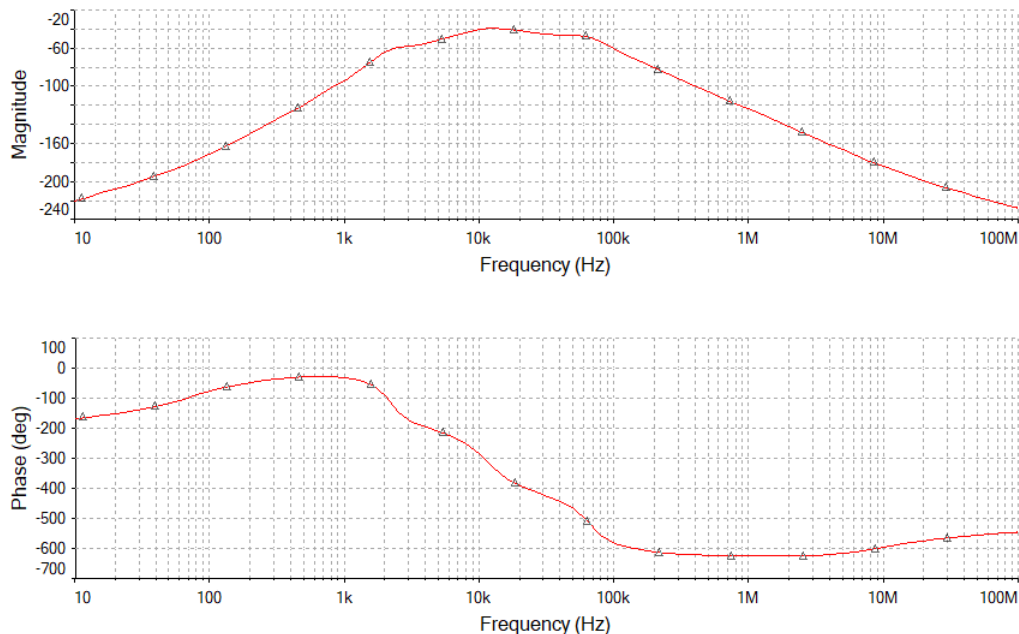


Obrázek 31: Schéma kaskádního zapojení pásmové propusti 4. řádu



Obrázek 32: Amplitudová a fázová charakteristika kaskádního zapojení pásmové propusti 4. řádu

Přeladěním na vyšší frekvenci byl obdržen následující průběh.

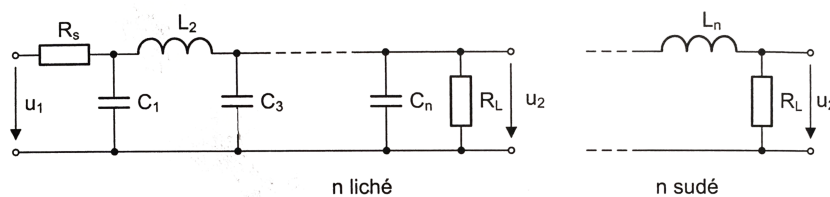
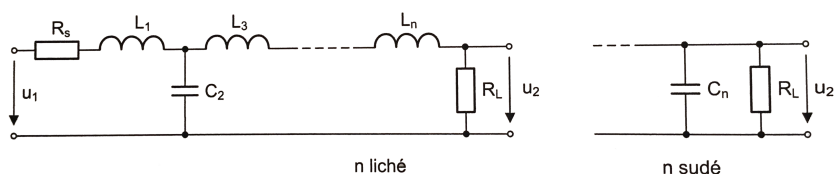


Obrázek 33: Amplitudová a fázová charakteristika kaskádního zapojení pásmové propusti 4. řádu

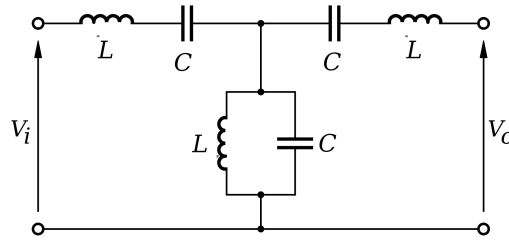
10 Příčkové LC filtry

Pasivní dolní propust je realizována zapojením induktoru ke vstupnímu napětí a k této větvi je následně zapojen paralelně rezistor. Pasivní horní propust má ke vstupu připojený sériově rezistor a poté k této větvi paralelně induktor.

K realizaci filtrů vyšších řádů se užívají π nebo T články s LC prvky. Při návrhu filtru musí být zohledněn vnitřní odpor zdroje R_s a zatěžovací odpor R_L . LC filtry jsou tedy dvojité zakončeny. Indukčnosti a kapacity prvků se určí z rovnic pro normované kapacity a indukčnosti. Normované hodnoty budou vypočteny pro mezní kmitočet $\omega_c = \frac{1}{\sqrt{LC}}$ a pro zatěžovací odpor R_L . Hodnoty prvků lze pro požadovanou aproximaci odečíst z tabulek.

Obrázek 34: Pasivní dolní propust n-tého řádu s π články [12]

Obrázek 35: Pasivní dolní propust n-tého řádu s T články [12]



Obrázek 36: Zapojení pásmové propusti (T-článek) [13]

11 Návrh v Maple

Pro návrh pásmové propusti 4. řádu s Caurovou aproximací typu C byly zvoleny parametry tolerančního schématu

$$fm := 80000Hz$$

$$delta_fp := 130000Hz$$

$$delta_fs := 300000Hz$$

$$ap := 20dB$$

$$as := 80dB,$$

kde fm značí geometrický střed propustného pásma [Hz], $delta_fp$ šířku propustného pásma [Hz], $delta_fs$ šířku nepropustného pásma [Hz], ap maximální útlum v propustném pásmu [dB], as minimální útlum v nepropustném pásmu [dB]. Funkcí $BP22NLP$ byla provedena transformace tolerančního schématu symetrické pásmové propusti (PP) na toleranční schema normované dolní propusti (NDP). Byly spočteny spodní a horní hranice nepropustného pásma f_s, fs a spodní a horní hranice propustného pásma f_p, fp .

$$f_s = \frac{\sqrt{delta_fs^2 + 4f_m^2} - delta_fs}{2} \quad (46)$$

$$f_p = \frac{\sqrt{delta_fp^2 + 4f_m^2} - delta_fp}{2} \quad (47)$$

$$fp = \frac{\sqrt{delta_fp^2 + 4f_m^2} + delta_fp}{2} \quad (48)$$

$$fs = \frac{\sqrt{delta_fs^2 + 4f_m^2} + delta_fs}{2} \quad (49)$$

$$x := BP22NLP(80e3, 130e3, 300e3, 20, 80)$$

$$f_s = 20000Hz$$

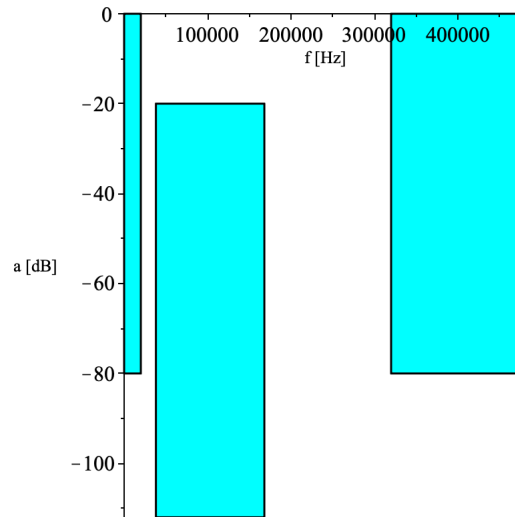
$$f_p = 38077Hz$$

$$fp = 168077Hz$$

$$fs = 320000Hz$$

Byl obdržen kmitočet hranice nepropustného pásma normované dolní propusti (NDP) Os [1/s].

$$Os = 2.307691/s$$



Obrázek 37: Toleranční schéma navrhované pásmové propusti

Stupeň Caurovy aproximace normované dolní propusti byl určen jako $order = 4$.

$$Nc := \text{CauerNLPOrder}(Os)$$

$$Nc := 4, 2.30769, 20$$

Dále byla funkcí Cauer_asnew určena nová hodnota útlumu v nepropustném pásmu NDP $asnew$.

$$asnew := \text{Cauer_asnew}(Nc)$$

$$asnew := 83.3624$$

$$asnew = 10 \log_{10} \left(1 + \left(\frac{\epsilon}{kl_new} \right)^2 \right) \quad (50)$$

$$\epsilon = \sqrt{10^{0.1ap} - 1} \quad (51)$$

$$k = \frac{1}{Os} \quad (52)$$

$$kl_new = k^{order} \left(\prod_{i=1}^n \text{JacobiCD} \left(\frac{(2i-1+m) \text{EllipticK}(k)}{order}, k \right) \right)^4, \quad (53)$$

kde m je celočíselný zbytek po dělení řádu 2 a n celočíselný výsledek dělení. Jakobiho eliptických funkcí je 12 a vycházejí ze škálování na jednotkové elipse ($\cos \phi$, $\sin \phi$ se nevází k jednotkovému kruhu, ale k elipse). JacobiCD funkce je definována jako podíl cosinu Jakobiho funkce s dvěma parametry ($\text{JacobiAM}(z, k)$) a derivace této funkce podle prvního parametru z .

$$\text{EllipticK}(k) = \int_0^1 \left(\frac{1}{\sqrt{(-\alpha_1^2 + 1)} \sqrt{(-k^2 - \alpha_1^2 + 1)}} \right) d_{-\alpha_1} \quad (54)$$

Následně byl spočten koeficient nejvyšší mocniny polynomu ve jmenovateli přenosové funkce Gc , póly a nuly přenosové funkce $poles, zeros$ pomocí funkce CauerCPolesZeros . Počet pólů je dán řádem filtru $order$ a počet nul pro aproximaci typu C je roven $order - 2$. Dále byla spočtena Caurova aproximace typu C - provozní činitel přenosu G jako racionální lomená funkce $G(j\omega) = \frac{1}{H(j\omega)}$, charakteristická funkce chf jako $\Phi(j\omega)$ s nulami a póly na imaginární ose a nuly přenosu. Charakteristická funkce má shodný jmenovatel s $G(j\omega)$.

$$Gc, poles, zeros := \text{CauerCPolesZeros}(Nc)$$

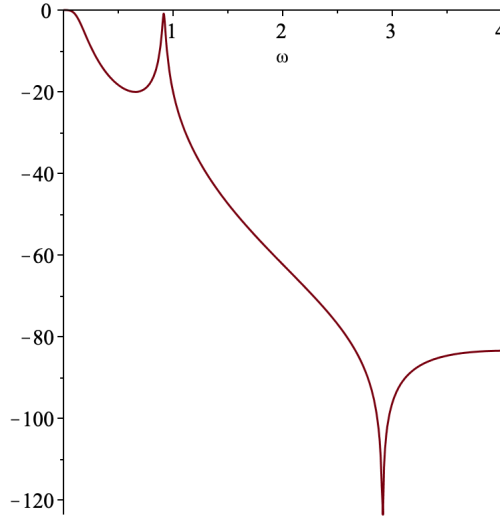
$$G, chf, zer := \text{CauerC}(Nc, p)$$

$$Gc, poles, zeros := 459.404,$$

$$[-0.106147 + 0.103691I, -0.106147 - 0.103691I, -0.0119965 + 0.915370I, -0.0119965 - 0.915370I],$$

$$[2.91159I - 2.91159I]$$

$$G, chf, zer := \frac{459.404p^4 + 108.551p^3 + 397.458p^2 + 81.9762p + 8.47734}{p^2 + 8.47736}, \frac{(459.404p^2 + 384.647)p^2}{p^2 + 8.47736}, [2.91159I - 2.91159I]$$



Obrázek 38: Modulová frekvenční charakteristika NDP

Charakteristika byla vykreslena z přenosu funkcí *MagnitudeHdB*, která vypočte modul přenosu podle předpisu $|H(j\omega)|$.

12 Výpočet prvků LC filtru

Funkcí *DroppNLP* byly vypočteny prvky LC příčkového filtru typu normovaná dolní propust (NDP). Zakončení bylo zvoleno standardní (common), odpory o hodnotě 1 Ω , směr zpracování od posledního prvku (rear), s T strukturou (začíná zepředu podélným induktorem). Standardní (common) zakončení je oboustranné ($R_1! = 0, R_1! = \infty$). Výstupem funkce je LC struktura s orientací prvků ve větvi podélně (direct) nebo příčně (shunt).

$$elems_NLP := DroppNLP('common', 1, rear, T, G, chf, zer)$$

$$Rem_matrix = \begin{pmatrix} 1.00624 & 0 \\ 0. & 1.00150 \end{pmatrix}$$

$$type = LC_NLP_common$$

$$R1 = 1$$

$$R2 = 1.004$$

$$block(1), [orientation = direct, elements = L1 = 27.298, Z = pL1]$$

$$block(2), [orientation = shunt, elements = C1 = 1.6705, Z = \frac{1}{pC1}]$$

$$block(3), [orientation = direct, elements = C1 = 0.14180, L1 = 0.83190, Z = \frac{1}{\frac{1}{pL1} + pC1}]$$

$$block(4), [orientation = shunt, elements = C1 = 8.3068, Z = \frac{1}{pC1}]$$

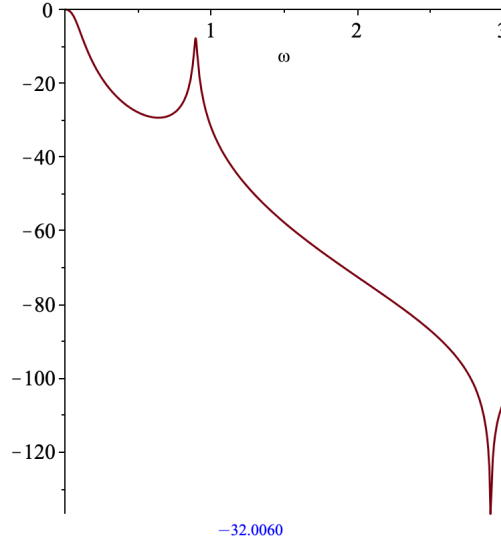
Přenosová funkce pasivních a aktivních struktur filtru byla spočtena funkcí *MakeH*. Byl spočten napěťový i výkonový přenos.

$$H_NLPV := MakeH(elems_NLP, V)$$

$$H_NLP := MakeH(elems_NLP, P)$$

$$H_NLPV := \frac{p^2 + 8.47735}{2943.77p^4 + 455.340p^3 + 2381.21^2 + 322.099p + 16.9209}$$

$$H_NLP := \frac{0.999999p^2 + 8.4773}{1474.83p^4 + 228.125p^3 + 1192.99p^2 + 161.371p + 8.47736}$$



Obrázek 39: Modulová frekvenční charakteristika NDP - LC příčkový filtr

Hodnota přenosové funkce v 1 byla vyhodnocena jako -32.006 .

Byla provedena transformace hodnot prvků normované dolní propusti (NDP) na pásmovou propust (PP). Zakoňcovací rezistor byl zvolen 1Ω , další dva parametry funkce značí spodní a horní hranici propustného pásma.

$$elems_BP := ElemsBP(elems_NLP, 1, 38077.640640, 168077.640640)$$

$$type = LC_BP_common$$

$$R1 = 1$$

$$R2 = 1.004$$

$$block(1), [Z = pL1 + \frac{1}{pC1}, orientation = direct, elements = C1 = 1.1843 * 10^{-7}, L1 = 3.3420 * 10^{-5}]$$

$$block(2), [Z = \frac{1}{\frac{1}{pL1} + pC1}, orientation = shunt, elements = C1 = 2.0451 * 10^{-6}, L1 = 1.9353 * 10^{-6}]$$

$$block(3), [Z = \frac{1}{pC1 + \frac{1}{\frac{1}{pL1} + \frac{1}{pL2 + \frac{1}{pC2}}}}, orientation = direct, elements = C1 = 1.7360 * 10^{-7},$$

$$C2 = 3.8861 * 10^{-6}, L1 = 2.2799 * 10^{-5}, L2 = 1.0185 * 10^{-6}]$$

$$block(4), [Z = \frac{1}{\frac{1}{pL1} + pC1}, orientation = shunt, elements = C1 = 1.0170 * 10^{-5}, L1 = 3.8918 * 10^{-7}]$$

Byly nastaveny jakosti cívek v LC příčkové struktuře na konečnou hodnotu. Funkce *MakeRealL* zařadí do výsledné LC příčkové struktury sériové rezistory k induktorům podle zadaného činitele jakosti Q a zadaného kmitočtu (ten odpovídá u pásmové propusti geometrickému středu propustného pásma - nebo je možno zadat obě hranice propustného pásma). Výpočet sériového odporu je proveden podle předpisu $R_s = \frac{L1.2\pi f}{Q}$.

$$Q := 50 :$$

$$elems_BPQ := MakeRealL(elems_BP, Q, 38077.640640, 168077.640640) :$$

$$type = LC_BP_common_Q$$

$$R1 = 1$$

$$R2 = 1.004$$

$$\text{block}(1), [Z = pL1 + Rs1 + \frac{1}{pC1}, \text{orientation} = \text{direct}, \text{elements} = C1 = 1.1843 * 10^{-7}, L1 = 3.3420 * 10^{-5}, \\ Rs1 = 0.33598]$$

$$\text{block}(2), [Z = \frac{1}{\frac{1}{pL1+Rs1} + pC1}, \text{orientation} = \text{shunt}, \text{elements} = C1 = 2.0451 * 10^{-6}, L1 = 1.9353 * 10^{-6}, \\ Rs1 = 0.019455]$$

$$\text{block}(3), [Z = \frac{1}{pC1 + \frac{1}{\frac{1}{pL1+Rs1} + \frac{1}{pL2+Rs2 + \frac{1}{pC2}}}} \text{orientation} = \text{direct}, \text{elements} = C1 = 1.7360 * 10^{-7},$$

$$C2 = 3.8861 * 10^{-6}, L1 = 2.2799 * 10^{-5}, L2 = 1.0185 * 10^{-6}, Rs1 = 0.2292, Rs2 = 0.010239]$$

$$\text{block}(4), [Z = \frac{1}{\frac{1}{pL1+Rs1} + pC1}, \text{orientation} = \text{shunt}, \text{elements} = C1 = 1.0170 * 10^{-5}, L1 = 3.8918 * 10^{-7}, \\ Rs1 = 0.0039125]$$

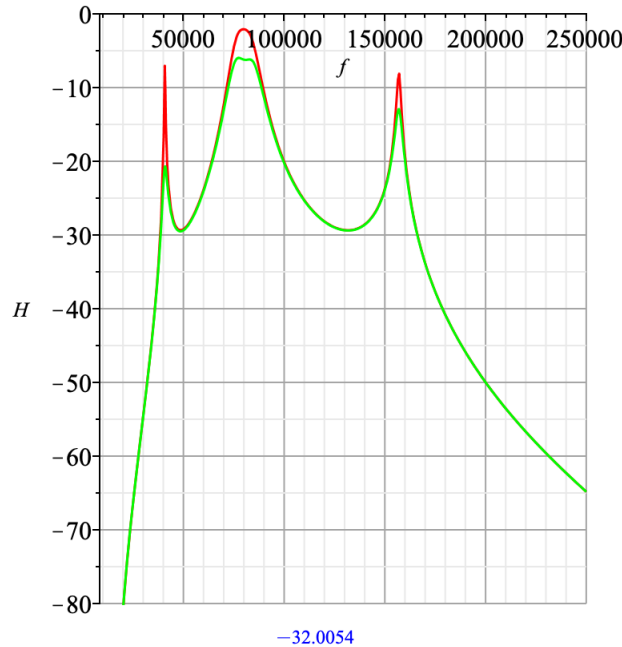
Byl spočten přenos pro LC strukturu bez a s přidáními sériovými rezistory. Pro oba přenosy byla vykreslena modulová frekvenční charakteristika.

$$H_BP := \text{MakeH}(\text{elems_BP});$$

$$H_BPQ := \text{MakeH}(\text{elems_BPQ});$$

$$H_BP := \frac{p^6 + 6.1612 * 10^{12} p^4 + 6.38385 * 10^{22} p^2}{2.2105310^{-9} p^8 + 0.000279286 p^7 + 3427.09 p^6 + 3.43505 * 10^8 p^5 + 1.45520 * 10^{15} p^4 + 8.6791310^{19} p^3 + 2.18778 * 10^{26} p^2 + 4.50478 * 10^{30} p + 9.00862 * 10^{36}}$$

$$H_BPQ := \frac{p^7 + 40212.3 p^6 + 6.16193 * 10^{12} p^5 + 1.85826 * 10^{17} p^4 + 6.57069 * 10^{22} p^3 + 1.28981 * 10^{27} p^2 + 6.4518410^{30} p}{2.21053 * 10^{-9} p^9 + 0.000390400 p^8 + 3442.71 p^7 + 4.81598 * 10^8 p^6 + 1.47026 * 10^{15} p^5 + 1.30876 * 10^{20} p^4 + 2.21624 * 10^{26} p^3 + 8.92708 * 10^{30} p^2 + 9.11067 * 10^{36} p + 9.09122 * 10^{40}}$$



Obrázek 40: Modulová frekvenční charakteristika LC struktury (červená) a LC struktury s končnou hodnotou jakostí cívek (zelená)

Vyčíslením v $168077 * 2\pi$ Hz byl obdržen útlum 32 dB.

Odnormované prvky byly vyčísleny následovně:

$$\text{ele_BP} := L1 = \text{subs}(\text{eval}(\text{elems_BPQ}[1][\text{elements}]), L1), C1 = \text{subs}(\text{eval}(\text{elems_BPQ}[1][\text{elements}]), C1),$$

$$C2 = \text{subs}(\text{eval}(\text{elems_BPQ}[2][\text{elements}]), C1), L2 = \text{subs}(\text{eval}(\text{elems_BPQ}[2][\text{elements}]), L1),$$

$$L3 = \text{subs}(\text{eval}(\text{elems_BPQ}[3][\text{elements}]), L1), L4 = \text{subs}(\text{eval}(\text{elems_BPQ}[3][\text{elements}]), L2),$$

$$C3 = \text{subs}(\text{eval}(\text{elems_BPQ}[3][\text{elements}]), C1), C4 = \text{subs}(\text{eval}(\text{elems_BPQ}[3][\text{elements}]), C2),$$

$$C5 = \text{subs}(\text{eval}(\text{elems_BPQ}[4][\text{elements}]), C1), L5 = \text{subs}(\text{eval}(\text{elems_BPQ}[4][\text{elements}]), L1),$$

$$R0 = \text{eval}(\text{elems_BPQ})[R1], Rz = \text{eval}(\text{elems_BPQ})[R2];$$

$$\text{ele_BP} := C1 = 1.18426 * 10^{-7}, C2 = 2.04513 * 10^{-6}, C3 = 3.88609 * 10^{-6}, C4 = 1.73599 * 10^{-7},$$

$$C5 = 10.1698 * 10^{-6}, L1 = 0.0000334204, L2 = 0.00000193526, L3 = 0.00000101846, L4 = 0.0000227988,$$

$$L5 = 3.89179 * 10^{-7}, R0 = 1, Rz = 1.004$$

Kapacita kondenzátoru použitého při zapojení indukčnosti s OTA je rovna $C_L = Lg_m^2$. Byla uvažována minimální transkonduktance z datasheetu LM13700. Byly získány kapacity

$$C_{L1} = 3.080024064 * 10^{-9}, C_{L2} = 1.783535616 * 10^{-10}, C_{L3} = 9.38612736 * 10^{-11}, C_{L4} = 2.101137408 * 10^{-9},$$

$$C_{L5} = 3.586673664 * 10^{-11}$$

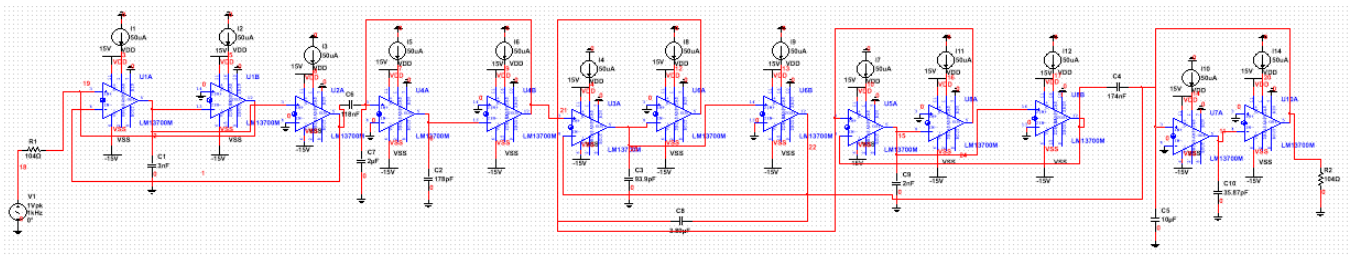
, tedy $C_{L1} = 3.08002 \text{ nF}$, $C_{L2} = 178.35356 \text{ pF}$, $C_{L3} = 93.86127 \text{ pF}$, $C_{L4} = 2.10114 \text{ nF}$, $C_{L5} = 35.86674 \text{ pF}$. Převrácenou hodnotou transkonduktance byly vypočteny frekvenčně a impedančně odnormované odpory

$$R_N = R_0 = R_z = \frac{1}{g_m} = 104.16667\Omega. \quad (55)$$

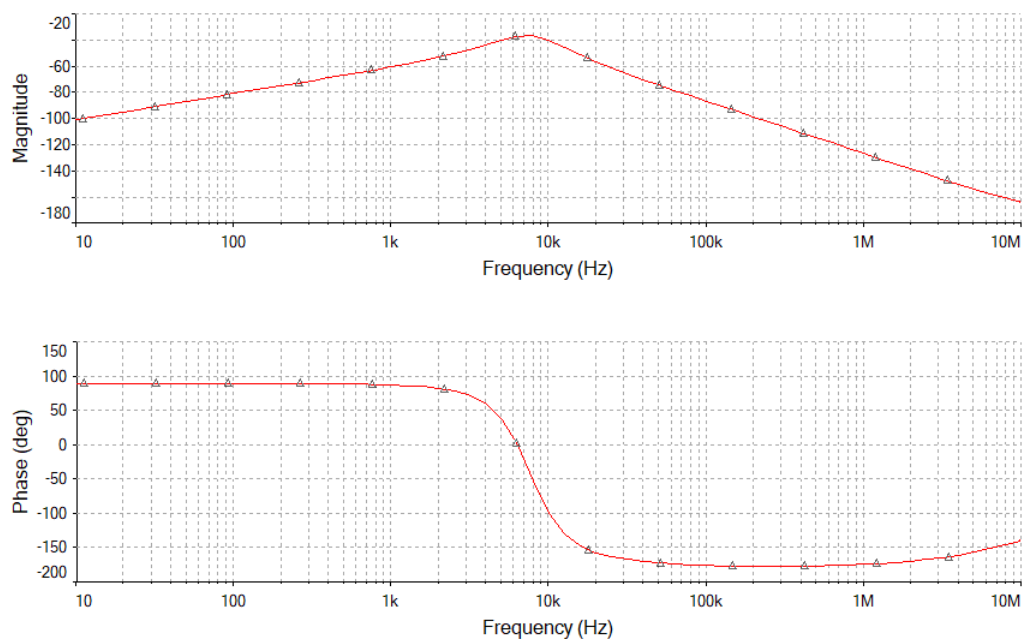
Kapacity vyšly odnormovány již se Syntfilu $C1 = 118.426 \text{ nF}$, $C2 = 2.04513 \text{ uF}$, $C3 = 3.88609 \text{ uF}$, $C4 = 173.599 \text{ nF}$, $C5 = 10.1698 \text{ uF}$.

13 Simulace s výsledky ze Syntfilu

Vypočtené prvky byly dosazeny do schématu v Multisimu.

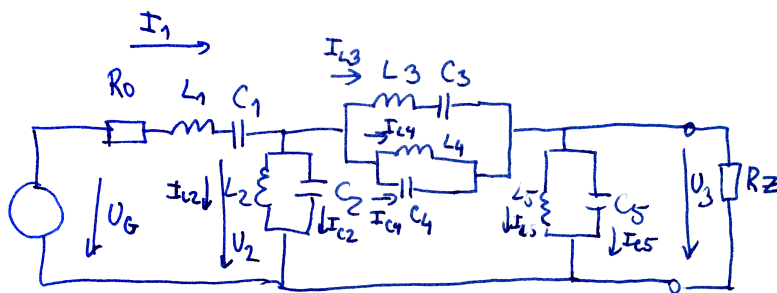


Obrázek 41: Zapojení pásmové propusti (Syntfil)



Obrázek 42: Amplitudová a fázová charakteristika pásmové propusti (Syntfil)

14 Návrh funkční simulací



Obrázek 43: Schéma LC příčkové struktury

Analýzou LC struktury z Maplu byly obdrženy obvodové rovnice, kde R je volitelný (fiktivní) rezistor:

$$I_1 = \frac{1}{R_1 + pL_1 + \frac{1}{pC_1}}(U_G - U_2) \quad (56)$$

$$v_1 = \frac{R}{R_1 + pL_1 + \frac{1}{pC_1}}(U_G - U_2) \quad (57)$$

$$U_2 = \frac{pL_1}{\frac{1}{pL_1} + pC_1}(I_1 - I_{L3} - I_{L4} - pC_4 v_{L4}) \quad (58)$$

$$U_2 = \frac{pL_1}{\frac{R}{pL_1} + RpC_1}(v_1 - v_{L3} - v_{L4} - RpC_4 U_{L4}) \quad (59)$$

$$I_{L3} = \frac{1}{pL_3 + \frac{1}{pC_3}}(U_2 - U_3) \quad (60)$$

$$v_{L3} = \frac{R}{pL_3 + \frac{1}{pC_3}}(U_2 - U_3) \quad (61)$$

$$v_{L4} = \frac{1}{\frac{1}{pL_4} + pC_4}(I_1 - I_{L2} - pC_2 U_2 - I_{L3} - pC_4(U_2 - U_3)) \quad (62)$$

$$v_{L4} = \frac{1}{\frac{R}{pL_4} + RpC_4}(v_1 - v_{L2} - RpC_2 U_2 - v_{L3} - RpC_4(U_2 - U_3)) \quad (63)$$

$$U_3 = \frac{1}{\frac{1}{R_z} + pC_5 + \frac{1}{pL_5}}(I_1 - I_{L2} - pC_2 U_2 - I_{L3} - I_{L4} - pC_4 v_{L4}) \quad (64)$$

$$U_3 = \frac{1}{\frac{R}{R_z} + RpC_5 + \frac{R}{pL_5}}(v_1 - U_2 - RpC_2 U_2 - v_{L3} - v_{L4} - RpC_4 v_{L4}). \quad (65)$$

To odpovídá realizační struktuře s pěti gyrátory o přenosech $H_1 \dots H_5$

$$H_1 = \frac{R}{R_1 + pL_1 + \frac{1}{pC_1}} \quad (66)$$

$$H_2 = \frac{pL_1}{\frac{R}{pL_1} + RpC_1} \quad (67)$$

$$H_3 = \frac{R}{pL_3 + \frac{1}{pC_3}} \quad (68)$$

$$H_4 = \frac{1}{\frac{R}{pL_4} + RpC_4} \quad (69)$$

$$H_5 = \frac{1}{\frac{R}{R_z} + RpC_5 + \frac{R}{pL_5}}. \quad (70)$$

15 Analýza systémové struktury

16 Závěr

Cílem práce bylo navrhnout pásmovou propust 4. řádu. Prvním krokem bylo odzkoušení zapojení OTA v Multisimu. Bylo realizováno zapojení filtru typu dolní propust 2. řádu (Sekce 6), poté byl kaskádním zapojením obdržen filtr typu dolní propust 4. řádu (Sekce 7). Následně byla pomocí kaskádního zapojení horní a dolní propusti obdržena pásmová propust 2. řádu (Sekce 8) a 4. řádu (Sekce 9).

Pomocí knihovny Syntfil navržena pásmová propust 4. řádu a její zapojení pomocí LC příčkové struktury. Mezikrokem byl převod pásmové propusti na normovanou dolní propust. Pro LC strukturu byly obdrženy odnormované hodnoty prvků. LC struktura poté byla převedena na zapojení s OTA, přičemž hodnoty prvků zůstaly nezměněny. Simulace s výsledky obdrženy z knihovny Syntfil byla provedena v Multisimu.

Cíl práce byl částečně splněn. Bude třeba spravit schéma v Multisimu s výsledky ze Syntfilu, dokončit návrh funkční simulací a analyzovat výslednou strukturu pomocí Pracanu. Dalším krokem bude pak praktická realizace a odzkoušení navrženého obvodu.

Reference

- [1] KAŠPER, Ladislav. *Návrh kmitočtového filtru* [online]. Ostrava, 2012 [cit. 2019-04-28]. Dostupné z: https://dspace.vsb.cz/bitstream/handle/10084/92901/KAS279_FEI_N2647_2601T013_2012.pdf?sequence=1&isAllowed=y. Diplomová práce. VŠB-TU Ostrava, FEL. Strana 18/69.
- [2] *High-pass filtering pre-processing before computing audio features*. Stack Exchange Inc [online]. 2019 [cit. 2019-04-22]. Dostupné z: <https://dsp.stackexchange.com/questions/27586/high-pass-filtering-pre-processing-before-computing-audio-features>
- [3] MICHAL, Vratislav. *Vybrané vlastnosti obvodů pracujících v proudovém módu a napětovém módu* [online]. Brno, 2017 [cit. 2019-03-30]. Dostupné z: <https://docplayer.cz/43256146-Vybrane-vlastnosti-obvodu-pracujicich-v-proudovem-modu-a-napetovem-modu.html>. Článek. Brno University of Technology. Strana 5/6.
- [4] HOSPODKA, Jiří. *Úvod do analogových filtrů* [online]. Praha, 2018 [cit. 2019-03-30]. Dostupné z: <https://moodle.fel.cvut.cz/course/view.php?id=1434>. Přednáška. ČVUT FEL. Pořadí slide 24/41, 21/41.
- [5] *Transconductance Amplifiers* [online]. 2019 [cit. 2019-03-30]. Dostupné z: https://cz.mouser.com/Semiconductors/Integrated-Circuits-ICs/Amplifier-ICs/Transconductance-Amplifiers/_/N-6j731?P=1y95od0
- [6] LM13700: Dual Operational Transconductance Amplifiers With Linearizing Diodes and Buffers. In: *Texas Instruments* [online]. Dallas, Texas: Texas Instruments Incorporated, 2018 [cit. 2019-03-30]. Dostupné z: www.ti.com/lit/ds/symlink/lm13700.pdf Strana 1/37. Strana 9/37 - Obrázek 16.
- [7] Low-pass filter. In: *Wikipedia: the free encyclopedia* [online]. San Francisco (CA): Wikimedia Foundation, 2001- [cit. 2019-03-30]. Dostupné z: https://en.wikipedia.org/wiki/Low-pass_filter
- [8] SCHAUMANN, Rolf a Mac E. Van VALKENBURG. *Design of Analog Filters*. New York: Oxford University Press, 2001. ISBN 0195118774. Pořadí obrázků 4-13, 4-36 a), b).
- [9] WADE, Augustus. Presentation on theme: *Circuits for sensors Ideal OP Amps Basic OP Amp Circuit Blocks* [online]. In: . 2015 [cit. 2019-04-26]. Dostupné z: <https://slideplayer.com/slide/4458062> Prezentace. Slide 20/48.
- [10] RAMSDEN, Ed. *An Introduction to Analog Filters*. Sensors Online [online]. 3 Speen Street, Suite 300, Framingham, MA 01701: Questex, 2019, 1/7/2001 [cit. 2019-05-18]. Dostupné z: <https://www.sensorsmag.com/components/introduction-to-analog-filters>
- [11] High-pass filter. In: *Wikipedia: the free encyclopedia* [online]. San Francisco (CA): Wikimedia Foundation, 2001- [cit. 2019-05-18]. Dostupné z: https://en.wikipedia.org/wiki/File:RLC_high-pass.svg
- [12] VEDRAL, Josef a Jakub SVATOŠ. *Zpracování a digitalizace analogových signálů v měřicí technice*. Praha: Česká technika - nakladatelství ČVUT, 2018. ISBN 978-80-01-06424-5. Strana 136, Obrázek 5.3.9, 5.3.10.
- [13] Band-pass filter. In: *Wikipedia: the free encyclopedia* [online]. San Francisco (CA): Wikimedia Foundation, 2001- [cit. 2RLC High-Pass Filter Design Tool. OKAWA Electric Design [online]. 2019 [cit. 2019-05-18]. Dostupné z: <http://sim.okawa-denshi.jp/en/RLChikeisan.htm>019-04-29]. Dostupné z: https://en.wikipedia.org/wiki/Band-pass_filter